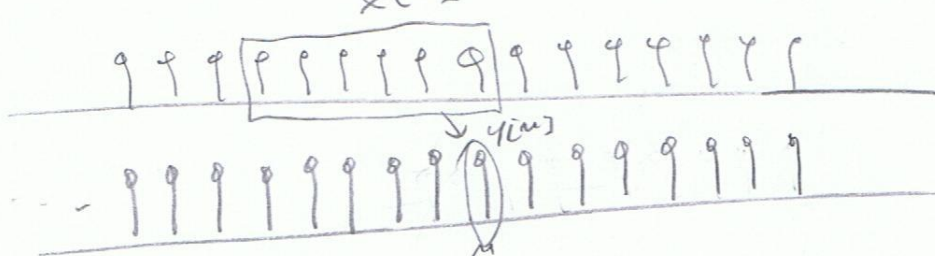


SISTEMA TEMPO-DISCRETO FIR

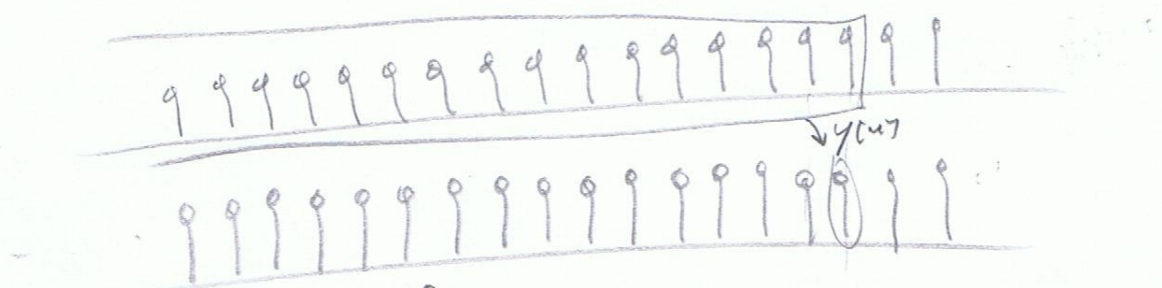
(Funzione Impulsiva Risposta)



$$y[n] = \sum_{k=0}^{N-1} h[k] x[n-k] \quad (\text{ordine } N)$$

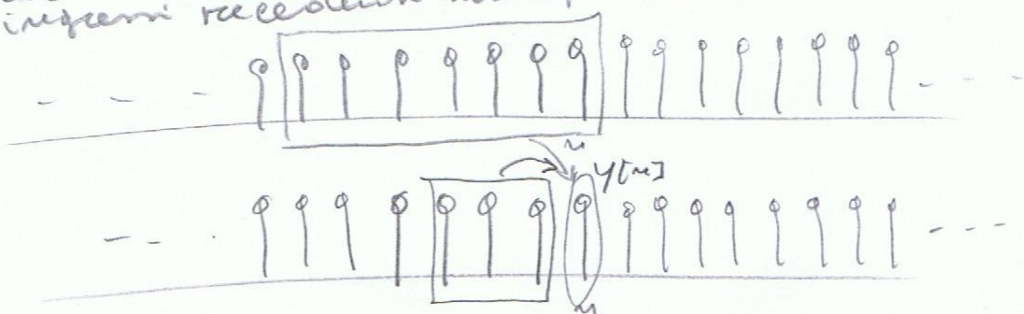
SISTEMA TEMPO-DISCRETO IIR

(Funzione Impulsiva Risposta)



$$y[n] = \sum_{k=0}^{\infty} h[k] x[n-k]$$

Un sistema IIR può essere stabile mantenendo
successive stesse uscite precedenti anche il numero
di ingressi precedenti nell'eq. alle differenze è falso.



$$y[n] = -\sum_{k=1}^M a_k y[n-k] + \sum_{k=0}^{N-1} b_k x[n-k]$$

parte risorsiva.

Lo perde ricorsiva conferisce al sistema uno numero
infinito, quindi una risposta impulsiva infinita.

Ovviamente lo ricorsivo può generare divergenza
(instabilità) e la stabilità dei coeff. a_k , oltre che diversi
lungo la retta in $H(z)$ devono essere considerati con attenzione.

Exemps (SOLDI INTASCA) 11

TIR.2

$$y[n] = y[n-1] + x[n]$$

y_{t-1} capitele i-ziel

$$y[0] = y[-1] + x[0]$$

$$y[0] = y_0 + x[0] = y[1-1] + x[0] + x[1]$$

$$y[1] = y[0] + x[1] = 1$$

$$y[2] = y[1] + x[2] = y[-1] + x[0] + x[1] + x[2]$$

$$y^{[n]} = y^{[-1]} + \sum_{k=0}^m x^{[k]}$$

Per n grande la memoria del sistema tende ad essere infinito poiché le risposte a tutte le stesse ipotesi $x[n]$.

Valentians be signs repulsive $x[m] = \delta[m]$;

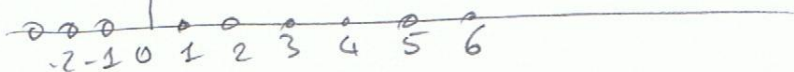
$$y[t-1] = 0,$$

$$y[0] = 0 + \delta[n] = 1$$

$$y[1] = y[0] + \delta[1] = y[0] - 1$$

$$y[t^{\infty}] = 1$$

$$x[n] = g[n]$$



$$h[n] = 4[n] \quad 19 \quad 19 \quad 19 \quad 19 \quad 19 \quad 19 \quad - \quad - \quad - \quad -$$

Repetitie impulsa $\dot{u}[n] = u[n]$ impulsa (ol le te d' stabilita)

ESEMPIO (SOLDI IN BANCA CON TASSA PATRIMONIALE)

IIR.3

- $y[n]$ capitale alla fine del giorno
- Al capitale si applica una tassa di $\frac{1}{1000}$ alla fine di ogni giorno. $\alpha < \left(1 - \frac{1}{1000}\right) = \alpha < 1$
- $x[n]$ guadagna o perde guadagno
- $y[-s]$ capitale iniziale

La ricorsione che descrive questo processo è

$$y[n] = \alpha y[-s] + x[n] \quad (*)$$

$$y[0] = \alpha y[-s] + x[0]$$

$$y[1] = \alpha y[0] + x[1] = \alpha (\alpha y[-s] + x[0]) + x[1] = \alpha^2 y[-s] + \alpha x[0] + x[1]$$

$$y[2] = \alpha y[1] + x[2] = \alpha(\alpha^2 y[-s] + \alpha x[0] + x[1]) + x[2] = \alpha^3 y[-s] + \alpha^2 x[0] + \alpha x[1] + x[2]$$

$$y[n] = \underbrace{\alpha y[-s]}_{\text{padre}} + \sum_{k=0}^{n-1} \alpha^k x[k]$$

→ (l'effetto
dell'capitalizzazione
progressivamente incilante)

effetto dell'espansione

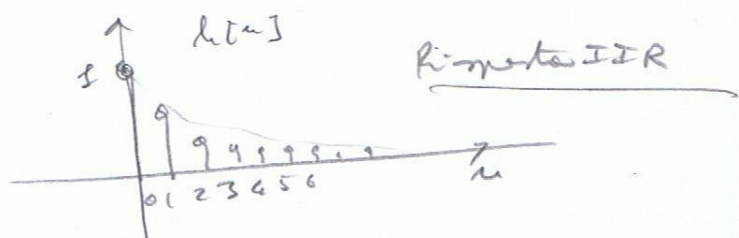
Per vedere più chiari l'effetto di $x[n]$, valutiamo le risposte impulsive: $x[n] = \delta[n]$, $y[-s] = 0$

$$y[0] = x[0] = 1$$

$$y[1] = \alpha y[0] + x[1] = \alpha \cdot 1 + 0$$

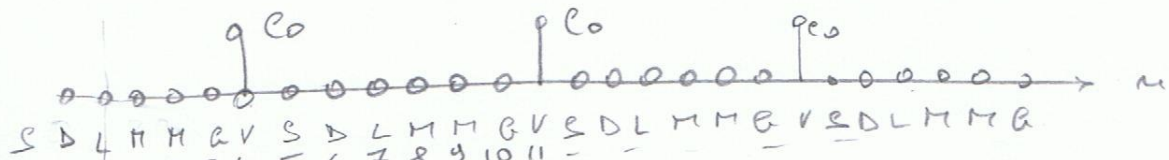
$$y[2] = \alpha y[1] + x[2] = \alpha^2 + 0$$

$$y[3] = \alpha y[2] + x[3] = \alpha^3$$



(*) Funzioni che nel modello si presenta un minimo di α (1/1000) del debito quando $y[n] < 0$. Va poi incrementato, ma non basta di un esercizio.

La risposta impulso ci consente di studiare l'andamento ^{TIKo4} per qualsiasi $x[n]$. Ad esempio, partendo da $y[0] = 0$ (zero capitale) avremo spese ogni 7 giorni. Ecco



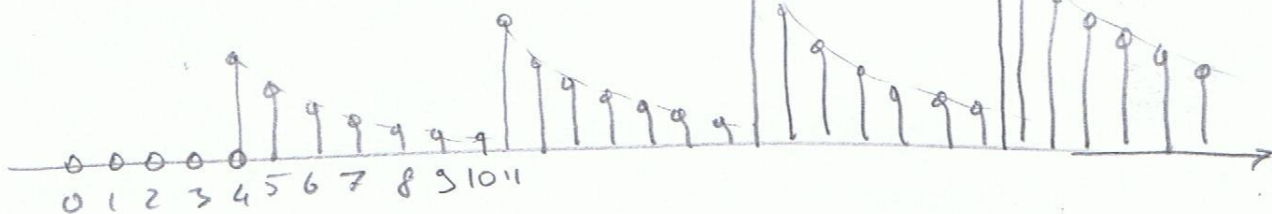
Se metti spese lo nullo

$$x[n] = \sum_{m=0}^{+\infty} \delta[n - 7m - 4]$$

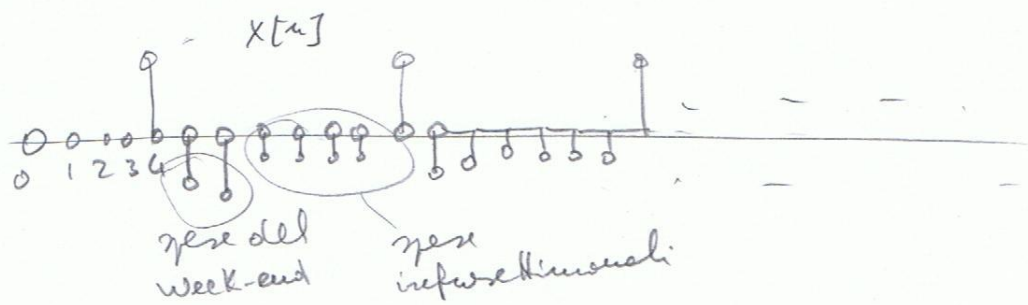
$$n = 7m + 4$$

$$y[n] = \sum_{k=0}^{\infty} a^k x[n-k]$$

oliente
verso più
picco.

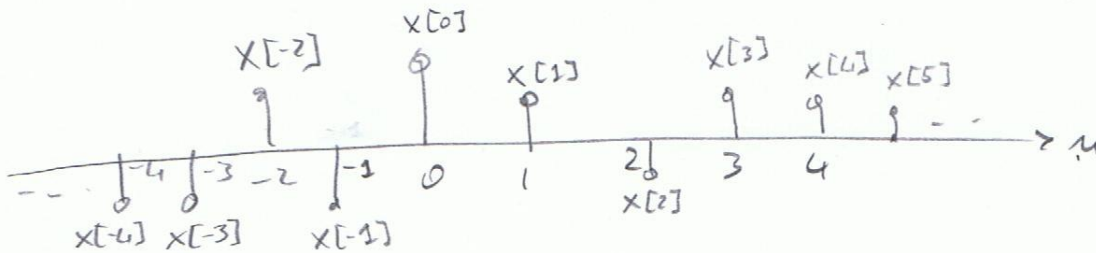


Per avere la risposta dei freschi si aggiunge
a quelli delle spese.



La risposta è più complessa ma ben descritta
descrivibile dalle envelope.

$$y[n] = \sum_{k=0}^{\infty} a^k x[n-k]$$

RICHIAMI SULLA Z-TRASFORMATA

Le proprietà delle sequenze e la loro manipolazione
può essere resa più semplice associando ad ogni
sequenza un polinomio nella variabile complessa z :

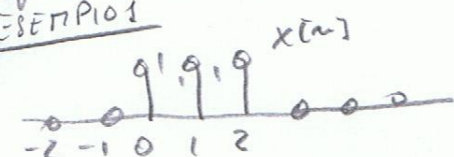
$\dots + x[-2] z^2 + x[-1] z^1 + x[0] + x[1] z^{-1} + x[2] z^{-2} + \dots$
le potenze negative sono associate ai campioni per $n > 0$ e
quelle positive ai campioni per $n < 0$. Pertanto la
potenza z^{-n} ovunque il significato formale di un
operatore di trasformazione temporale. Si definisce
Z-trasformato di una sequenza $x[n]$, la funzione
complessa di variabile complessa

$$X(z) = \sum_{n=-\infty}^{+\infty} x[n] z^{-n}$$

La regione del piano z per cui tale funzione è
finita è detto ROC (Region of convergence)

Prima di parlare di proprietà generali presentiamo
qualche esempio

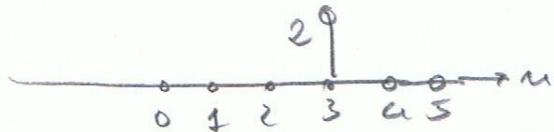
ESEMPIO 1



$$X(z) = 1 + z^{-1} + z^{-2} = 1 + \frac{1}{z} + \frac{1}{z^2}$$

$X(z)$ esiste per tutti i valori eccetto che per $z=0$
dove diverge

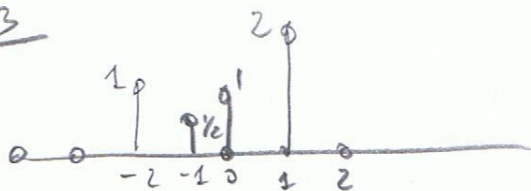
$$\text{ROC: } z \in \mathbb{C} \setminus \{z=0\}$$

ESEMPIO 2

$$x[n] = 2\delta[n-3]$$

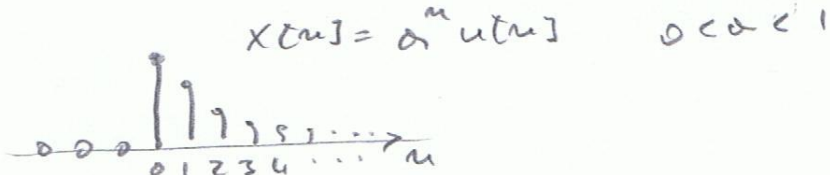
$$\tilde{X}(z) = 2z^{-3}$$

ROC: $z \in \mathbb{C} \setminus \{z=0\}$

ESEMPIO 3

$$\tilde{X}(z) = z^2 + \frac{1}{2}z^1 + 1 + 2z^{-1}$$

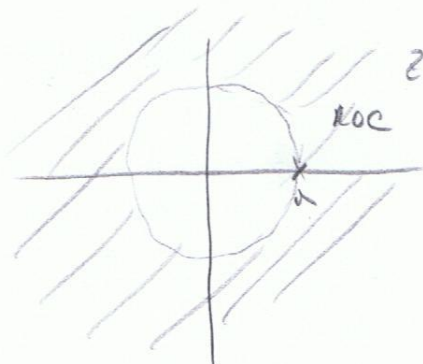
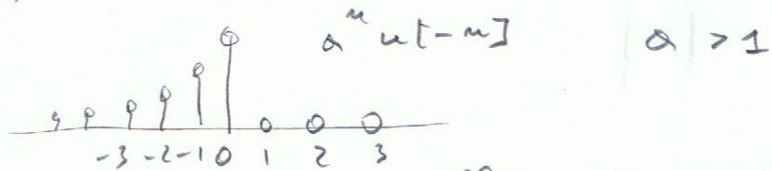
ROC: $z \in \mathbb{C} \setminus \{z=0\} \cup \{z=\infty\}$

ESEMPIO 4

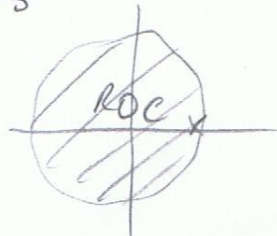
$$x[n] = \alpha^n u[n] \quad 0 < \alpha < 1$$

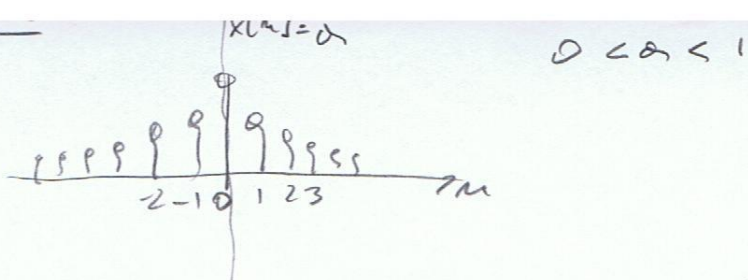
$$\tilde{X}(z) = \sum_{n=0}^{\infty} \alpha^n z^{-n} = \sum_{n=0}^{\infty} (\alpha z^{-1})^n = \frac{1}{1 - \alpha z^{-1}} \quad \alpha |z|^{-1} < 1$$

$$\begin{cases} \tilde{X}(z) = \frac{1}{1 - \alpha z^{-1}} \\ \text{ROC: } |z| > |\alpha| \end{cases}$$

ESEMPIO 5

$$\begin{aligned} \tilde{X}(z) &= \sum_{n=-\infty}^0 \alpha^n z^{-n} = \sum_{n=0}^{\infty} \alpha^{-n} z^n = \sum_{n=0}^{\infty} (\alpha^{-1} z)^n \\ &= \frac{1}{1 - \alpha^{-1} z} \quad \text{re } |\alpha^{-1} z| < 1 \quad |z| < |\alpha| \end{aligned}$$



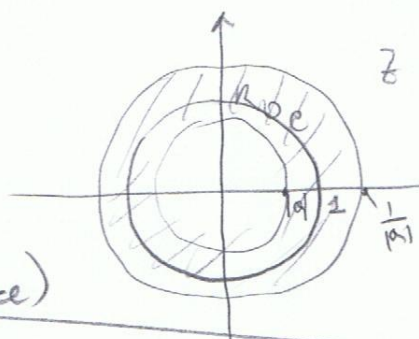


$$\begin{aligned}
 X(z) &= \sum_{n=-\infty}^{+\infty} a^{|n|} z^{-n} = \sum_{n=-\infty}^{-1} a^{|n|} z^{-n} + \sum_{n=0}^{\infty} a^{|n|} z^{-n} \\
 &= \sum_{m=1}^{\infty} a^{+m} z^m + \sum_{m=0}^{\infty} a^m z^{-m} \\
 &= -a^0 z^0 + \sum_{m=0}^{\infty} a^m z^m + \sum_{m=0}^{\infty} a^m z^{-m} \\
 &= -1 + \frac{1}{1-a z} + \frac{1}{1-a z^{-1}}
 \end{aligned}$$

$$|az| < 1 \quad |az^{-1}| < 1$$

$$|z| < \frac{1}{|a|} \quad |z| > |a|$$

$$\left\{
 \begin{array}{l}
 X(z) = -1 + \frac{1}{1-a z} + \frac{1}{1-a z^{-1}} \\
 \text{ROC: } |a| < z < \frac{1}{|a|} \quad (\text{regione centrale})
 \end{array}
 \right.$$

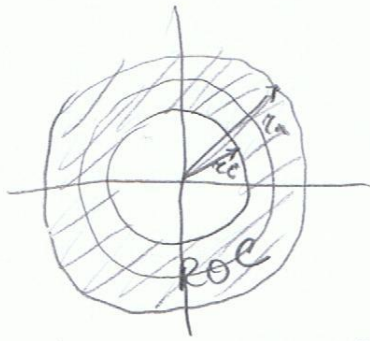


L'ultimo esempio è un esempio di convergenza condizionata per una serie bilatera (non causale) la ROC non comprende né parte reale né parte immaginaria.

In generale si operano i contributi della parte causale e della parte anticausale di $X(z)$

$$\begin{aligned}
 X(z) &= \sum_{n=-\infty}^{+\infty} x[n] z^{-n} = \sum_{n=-\infty}^{-1} x[n] z^{-n} + \sum_{n=0}^{\infty} x[n] z^{-n} \\
 &= -x[0] + \underbrace{\sum_{n=0}^{\infty} x[-n] z^n}_{\text{parte anticausale}} + \underbrace{\sum_{n=0}^{\infty} x[n] z^{-n}}_{\text{parte causale}}
 \end{aligned}$$

La parte anticausale converge se c'è un $\varepsilon_0 > 0$ altrimenti non converge.
Perché per cui la serie è assolutamente sommabile.
La parte causale converge se c'è un $\varepsilon_0 > 0$ altrimenti non converge.
Perché per cui la serie è assolutamente sommabile.



la regione di convergenza è quella che risulta quando $r_a < r_c$ ovvero se $r_a > r_c$. Viceversa se $r_a \leq r_c$ non c'è intersezione e la Z-transformata non esiste.

Alcune proprietà delle Z-transformate.

- Linearità

$$\begin{aligned} x_1[n] &\xrightarrow{Z} X_1(z) \\ x_2[n] &\xrightarrow{Z} X_2(z) \\ c_1 x_1[n] + c_2 x_2[n] &\xrightarrow{Z} c_1 X_1(z) + c_2 X_2(z) \end{aligned}$$

- Traslazione temporale

$$x[n-n_0] \longleftrightarrow z^{-n_0} X(z)$$

Prova:

$$\sum_{n=-\infty}^{+\infty} x[n-n_0] z^{-n} = \sum_{m=-\infty}^{+\infty} x[m] z^{-(m+n_0)} = z^{-n_0} X(z) \quad \square$$

$m = n - n_0$

- Trasformante inversa

$$x[n] = \frac{1}{2\pi j} \oint_C X(z) z^{n-1} dz$$

$C \subset \text{ROC}$

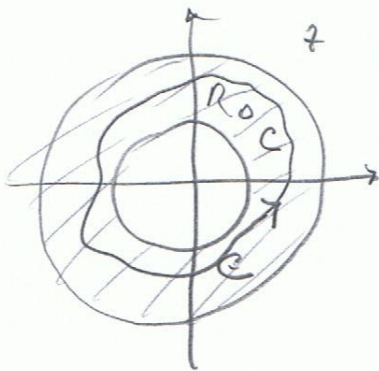
Prova:

$$X(z) = \sum_{k=-\infty}^{+\infty} x[k] z^{-k}$$

$$z^{n-1} X(z) = z^{n-1} \sum_{k=-\infty}^{+\infty} x[k] z^{-k}$$

$$z^{n-1} X(z) = \sum_{k=-\infty}^{+\infty} x[k] z^{n-1-k}$$

Integriamo $X(z)$ su un circuito chiuso C contenuto all'interno della ROC di C e che include l'origine.



$$\oint_C X(z) z^{m-1} dz = \oint_C \sum_{k=-\infty}^{+\infty} x[k] z^{m-1-k} dz$$

Poiché la serie converge su C , possiamo scambiare
l'insieme con l'ordine di integrazione.

$$\oint_C X(z) z^{m-1} dz = \sum_{k=-\infty}^{+\infty} x[k] \oint_C z^{m-1-k} dz$$

Dal Teorema di Cauchy, $\frac{1}{2\pi j} \oint_C z^{m-1-k} dz = \begin{cases} 1 & k=m \\ 0 & k \neq m \end{cases}$

Da cui

$$\oint_C X(z) z^{m-1} dz = x[m]$$

Nuovamente per pensare alla $X(z)$ come l'integrazione causale. La terna più comune è scrivere $X(z)$ in rappresentazione di trasformate note di cui è nota la antitrasformata, vogliando la rappresentazione.

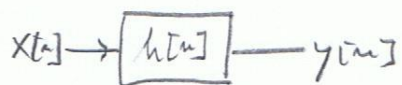
Convolutione

$$z[m] = (x * y)[m] = \sum_{k=-\infty}^{+\infty} x[k] y[m-k] \xrightarrow{Z} Z(z) = X(z) Y(z)$$

Prova

$$Z\left[\sum_{k=-\infty}^{+\infty} x[k] y[m-k]\right] = \sum_{m=-\infty}^{+\infty} \sum_{k=-\infty}^{+\infty} x[k] y[m-k] z^{-m} = \sum_{k=-\infty}^{+\infty} x[k] \underbrace{\sum_{m=-\infty}^{+\infty} y[m-k] z^{-m}}_{z^{-k} Y(z)}$$

$$= \sum_{k=-\infty}^{+\infty} x[k] z^{-k} Y(z) = X(z) Y(z).$$



$$y[n] = \sum_{k=-\infty}^{+\infty} h[k] x[n-k]$$

$$Y(z) = H(z)X(z); \quad H(z) = \frac{Y(z)}{X(z)}$$

$$H(z) = \sum_{n=-\infty}^{+\infty} h[n] z^{-n} = \dots + h[-2]z^2 + h[-1]z + h[0] + h[1]z^{-1} + h[2]z^{-2} + \dots$$

(non causale)

Se $h[n]$ è causale ($\neq 0 \quad n < 0$)

$$H(z) = \sum_{n=0}^{\infty} h[n] z^{-n} = h[0] + h[1]z^{-1} + h[2]z^{-2} + \dots +$$

Se $h[n]$ è anticausale ($\neq 0 \quad n > 0$)

$$H(z) = \sum_{n=-\infty}^{\infty} h[n] z^{-n} = \sum_{n=0}^{\infty} h[-n] z^n = \dots + h[-2]z^2 + h[-1]z + h[0]$$

$h[n]$ FIR causale:

$$H(z) = \sum_{n=0}^{N-1} h[n] z^{-n} = h[0] + h[1]z^{-1} + \dots + h[N-1]z^{-N+1}$$

$$= z^{-N+1} (h[0] z^{N-1} + h[1] z^{N-2} + \dots + h[N-2] z^2 + h[N-1])$$

Per $N > 1$ ci sono $N-1$ poli nell'origine ($z=0$)
e $N-1$ zeri (radici del polinomio).

- Forme canoniche

- Rappresentazione polinomiale in z^{-1}

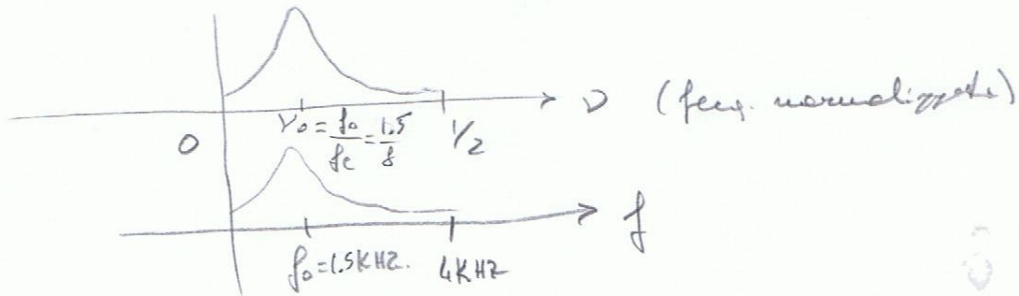
- Rappresentazione zeri-poli

- Rappresentazione zeri-poli con zeri e poli reali o complessi coniugati.

Dalle fotoseape del frank, Renato Kds.

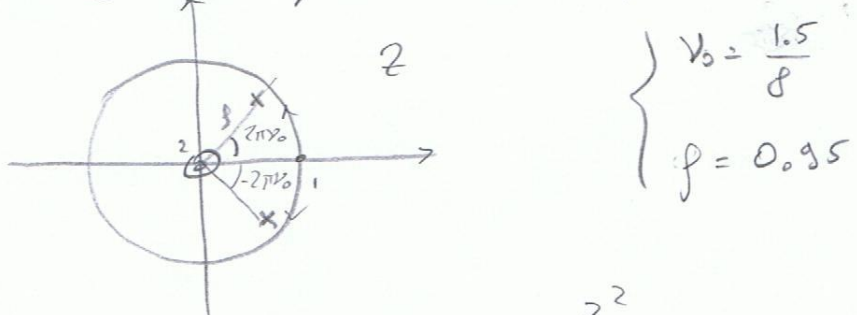
Progetto di un filtro numerico per piezometri zeri-poli

E2. F. Compensato $f_c = 8 \text{ kHz}$, Pass-band centrato su 1.5 kHz .



Piezzano una rete di poli coniugati e

$P_{12} = f^2 e^{\pm j2\pi\nu_0}$ e due zeri nell'origine.



$$\left\{ \begin{array}{l} \nu_0 = \frac{1.5}{8} \\ f = 0.95 \end{array} \right.$$

$$\begin{aligned} H(z) &= \frac{z^2}{(z - fe^{j2\pi\nu_0})(z - fe^{-j2\pi\nu_0})} = \frac{z^2}{z^2 - 2f(e^{j2\pi\nu_0} + e^{-j2\pi\nu_0})z + f^2} \\ &= \frac{z^2}{z^2 - 2\cos 2\pi\nu_0 z + f^2} = \frac{1}{1 - 2\cos 2\pi\nu_0 z^{-1} + f^2 z^{-2}} \end{aligned}$$

L'eq. alle differenze del filtro è

$$y[n] = 2\cos 2\pi\nu_0 y[n-1] - f^2 y[n-2] + x[n]$$

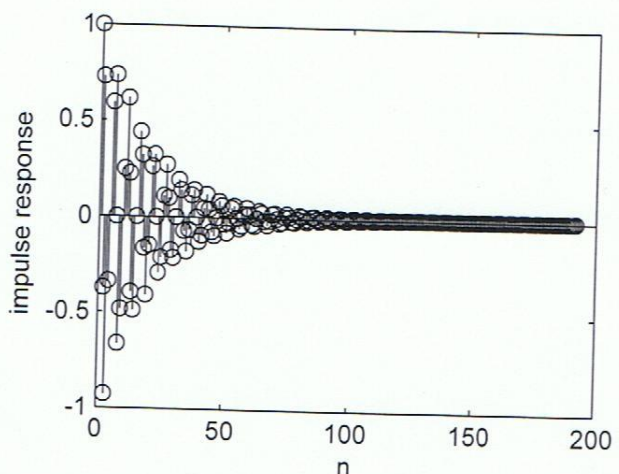
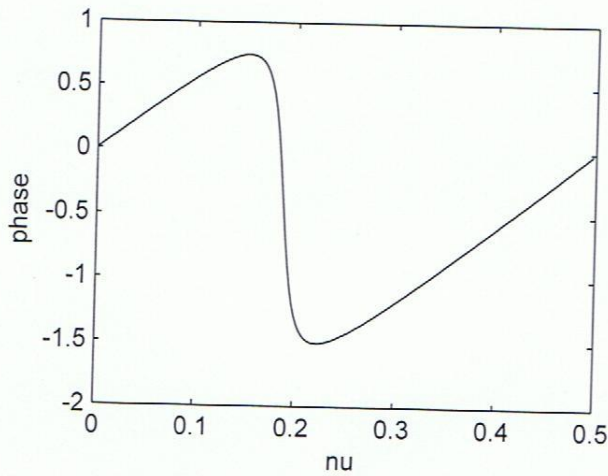
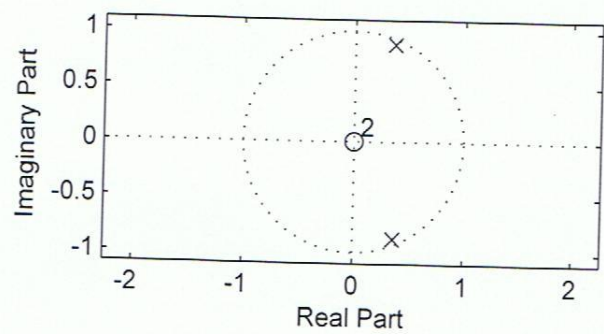
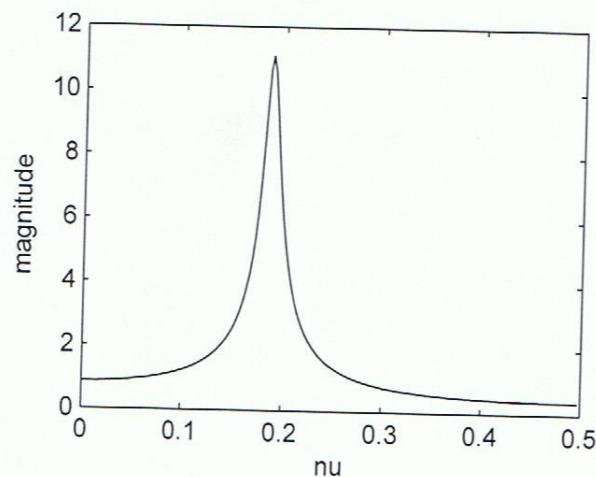
Un esecuzione in MATLAB traccia il grafico del
modulo e fase di $H(\nu) = H(z)|_{z=e^{j2\pi\nu}}$, lo risulta
inclusiva $h[n] = Z^{-1}[H(z)]$ e il diagramma
poli-zeri nel piano Z .

Senza nome

```

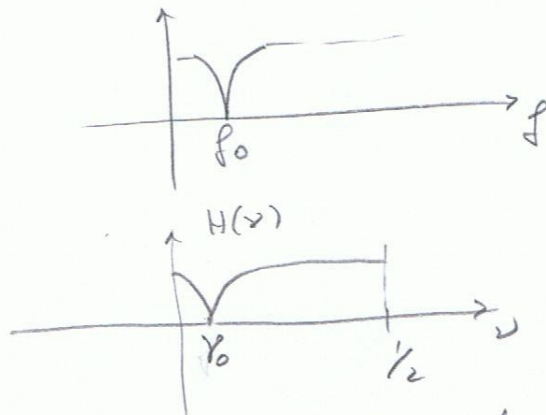
fc=8000; %sampling frequency
f0=1500; % center frequency
nu0=f0/fc ; %center frequency (normalized)
rho=0.95;
A=[1 -2*rho*cos(2*pi*nu0) rho^2];
B=[1];
[H w]=freqz(B,A,200); %get frequency response (abscissa in rad)
[h t]=impz(B,A); %get impulse response
subplot(2,2,1)
plot(w/(2*pi),abs(H)) %plot magnitude (abscissa in norm freq.)
ylabel('magnitude')
xlabel('nu')
subplot(2,2,3)
plot(w/(2*pi),phase(H)) %plot phase (abscissa in norm freq.)
ylabel('phase')
xlabel('nu')
subplot(2,2,2)
zplane(B,A) %compute and plot z plane
subplot(2,2,4)
stem(t,h) %plot impulse response
ylabel('impulse response')
xlabel('n')

```



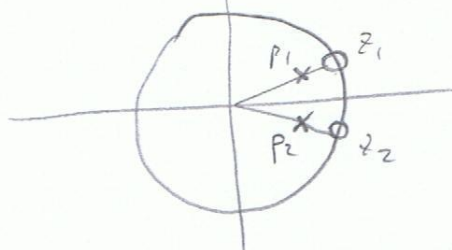
ESEMPIO Filtro a spillo: un filtro che elime una frequenza specifica.

$$\text{E. } f_c = 10 \text{ kHz.} \quad f_s = 500 \text{ Hz.}$$



$$\gamma_0 = \frac{f_0}{f_c} = \frac{500}{10000} = 0.05$$

Pioggiamo uno zero nel cerchio interno a $e^{j2\pi\nu_0}$ e un polo nell'esterno per tenere in linea rispetto a ν_0 . Poi i due diversi punti in coppia per avere una coppia reale.



$$\begin{aligned} P_1 &= f e^{+j2\pi\nu_0} \\ P_2 &= P_1^* = f e^{-j2\pi\nu_0} \\ Z_1 &= e^{j2\pi\nu_0} \\ Z_2 &= Z_1^* = e^{-j2\pi\nu_0} \end{aligned}$$

$$H(z) = \frac{(z-z_1)(z-z_2)}{(p-p_1)(p-p_2)} = \frac{(z-e^{j2\pi\nu_0})(z-e^{-j2\pi\nu_0})}{(z-pe^{j2\pi\nu_0})(z-pe^{-j2\pi\nu_0})}$$

$$= \frac{z^2 - 2\cos 2\pi\nu_0 z + 1}{z^2 - 2p\cos 2\pi\nu_0 z + p^2} = \frac{1 - 2\cos 2\pi\nu_0 z^{-1} + z^{-2}}{1 - 2p\cos 2\pi\nu_0 z^{-1} + p^2 z^{-2}}$$

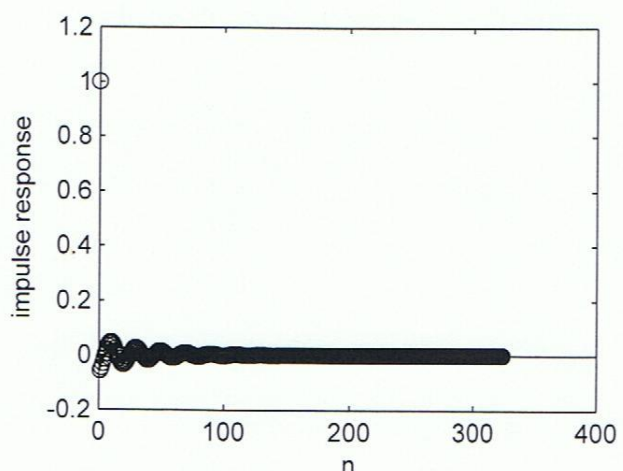
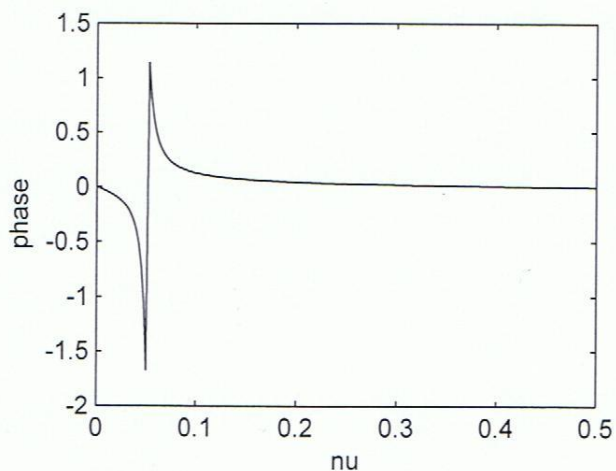
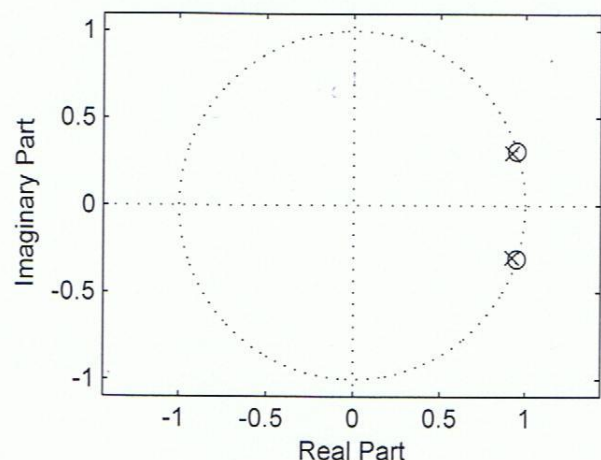
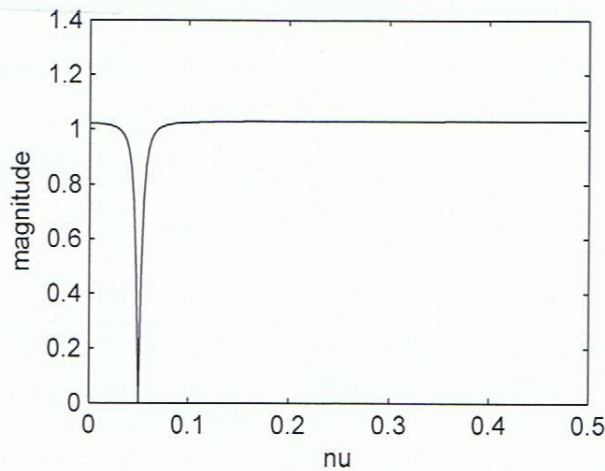
$$y[n] = 2p\cos 2\pi\nu_0 y[n-1] - p^2 y[n-2] + x[n] - 2\cos 2\pi\nu_0 x[n-1] + x[n-2]$$

senza nome

```

fc=10000; %sampling frequency
f0=500; % center frequency
nu0=f0/fc ; %center frequency (normalized)
rho=0.97;
A=[1 -2*rho*cos(2*pi*nu0) rho^2];
B=[1 -2*cos(2*pi*nu0) 1];
[H w]=freqz(B,A,200); %get frequency response (abscissa in rad)
[h t]=impz(B,A); %get impulse response
subplot(2,2,1)
plot(w/(2*pi),abs(H)) %plot magnitude (abscissa in norm freq.)
ylabel('magnitude')
xlabel('nu')
subplot(2,2,3)
plot(w/(2*pi),phase(H)) %plot phase (abscissa in norm freq.)
ylabel('phase')
xlabel('nu')
subplot(2,2,2)
zplane(B,A) %compute and plot z plane
subplot(2,2,4)
stem(t,h) %plot impulse response
ylabel('impulse response')
xlabel('n')

```

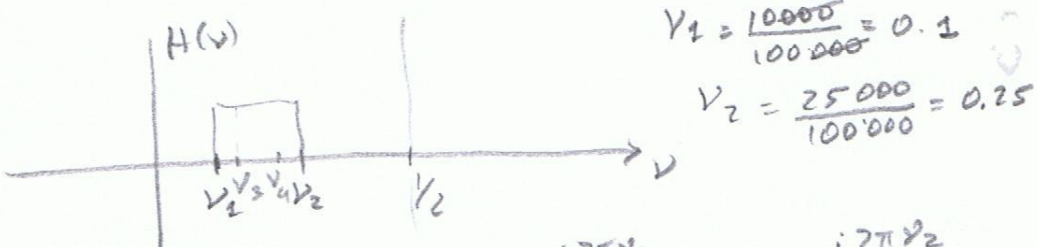
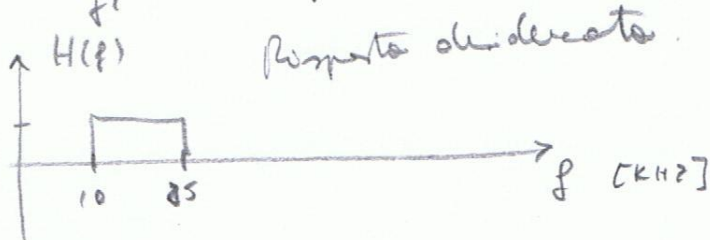


ESEMPIO
PASSA-BANDA

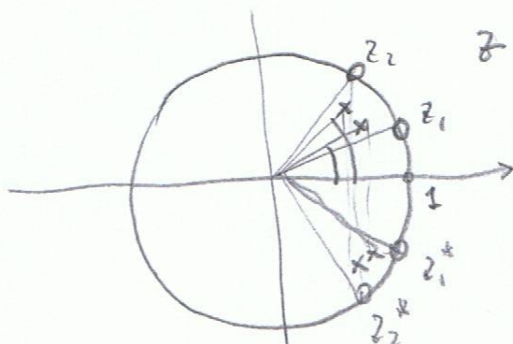
IIR.15

$$f_c = 100 \text{ kHz}$$

$$f_1 = 10 \text{ kHz}, f_2 = 25 \text{ kHz}$$



Pioggiamo due zeri a $Z_1 = e^{j2\pi v_1}$ e $Z_2 = e^{j2\pi v_2}$ con i loro complessi coniugati, e due poli all'interno del cerchio per fissare sullo z-plane.



$$\begin{cases} Z_1 = e^{j2\pi v_1} \\ Z_1^* = e^{-j2\pi v_1} \\ Z_2 = e^{j2\pi v_2} \\ Z_2^* = e^{-j2\pi v_2} \end{cases}$$

$$P_1 = f e^{j2\pi v_3} \quad P_1^* = f e^{-j2\pi v_3}$$

$$P_2 = f e^{j2\pi v_4} \quad P_2^* = f e^{-j2\pi v_4}$$

$$H(z) = \frac{(z^2 - 2\cos 2\pi v_1 z + 1)(z^2 - 2\cos 2\pi v_2 z + 1)}{(z^2 - 2\cos 2\pi v_3 z + 1)(z^2 - 2\cos 2\pi v_4 z + 1)}$$

$$= \frac{(1 - 2\cos 2\pi v_1 z^{-1} + z^{-2})(1 - 2\cos 2\pi v_2 z^{-1} + z^{-2})}{(1 - 2\cos 2\pi v_3 z^{-1} + z^{-2})(1 - 2\cos 2\pi v_4 z^{-1} + z^{-2})}$$

NOTA:

Per ottenere i coefficienti dei polinomi prodotti basta effettuare la convoluzione obbligata

FIR.16
delle sezioni che rappresentano i polinomi.

Ad esempio:

$$(\alpha_0 + \alpha_1 z^{-1} + \alpha_2 z^{-2})(\beta_0 + \beta_1 z^{-1} + \beta_2 z^{-2})$$

$$= c_0 + c_1 z^{-1} + c_2 z^{-2} + c_3 z^{-3} + c_4 z^{-4}$$

dove

$$c_i = \sum_{k=0}^2 \alpha_k \beta_{i-k} \quad i = 0, \dots, 4$$

(convoluzione lineare)

In generale

$$(\alpha_0 + \alpha_1 z^{-1} + \dots + \alpha_{N-1} z^{-N+1})(\beta_0 + \beta_1 z^{-1} + \dots + \beta_{M-1} z^{-M+1})$$
$$= \gamma_0 + \gamma_1 z^{-1} + \dots + \gamma_{N+M-1} z^{-N-M+2}$$

Dove

$$\gamma_n = \sum_{k=0}^{n-1} \alpha_k \beta_{n-k} \quad n = 0, \dots, N+M$$

Interessante anche l'altra progettazione grafica

Senza nome

```

fc=100000; %sampling frequency
f1=10000;
f2=25000;
f3=13000;
f4=22000;
nu1=f1/fc;
nu2=f2/fc;
nu3=f3/fc;
nu4=f4/fc;
rho=0.90;
B=conv([1 -2*cos(2*pi*nu1) 1],[1 -2*cos(2*pi*nu2) 1]);
A=conv([1 -2*rho*cos(2*pi*nu3) rho^2],[1 -2*rho*cos(2*pi*nu4) rho^2]);
[H W]=freqz(B,A,200); %get frequency response (abscissa in rad)
[h t]=impz(B,A); %get impulse response
subplot(2,2,1)
plot(W/(2*pi),abs(H)) %plot magnitude (abscissa in norm freq.)
ylabel('magnitude')
xlabel('nu')
subplot(2,2,3)
plot(W/(2*pi),phase(H)) %plot phase (abscissa in norm freq.)
ylabel('phase')
xlabel('nu')
subplot(2,2,2)
zplane(B,A) %compute and plot z plane
subplot(2,2,4)
stem(t,h) %plot impulse response
ylabel('impulse response')
xlabel('n')

```

